

函数を用いて運動方程式等の数值解 を求めるときの諸問題

気象研 台風 窪田正八
気象研 予報 菊池幸雄

§1. 緒論

気象力学の分野で扱う基礎方程式は、流体力学で使われている運動方程式或はそれを変形した渦度方程式である。これらの方程式とともに大気の力学的性質を調べるときには、或る初期条件を与えて偏微分方程式を解くという初期値問題を扱う場合が非常に多い。

運動方程式或は渦度方程式は非線型であるからその初期値問題の解析解を求ることは困難で、数值的に解かなければならぬが、その際二つの方法がとられている。即ちスペクトル法と格子点法である。以下は気象力学の分野において運動方程式等に関する初期値問題の数值解を求めるときの諸問題の中で、特にスペクトル法に関する二三の問題についての話である。

運動方程式或は渦度方程式をできる限り簡単化する次の形(2)をとる。

$$(1) \quad \frac{\partial u}{\partial t} = -u \frac{\partial u}{\partial x}$$

線型化すると、

$$(2) \quad \frac{\partial u}{\partial t} = -U \frac{\partial u}{\partial x}$$

今後(1)或は(2)をまとめて議論を進める二とじにする。ここで
Xは $\frac{2\pi}{L}$ によって無次元化された長さ、tは時間を表わすものとする。又、Uは区間の両端で等しいと假定する。

2. スペクトル法と格子点法の対応性

偏微分方程式の初期値問題を数値的に解く場合、空間微分の扱い方によってスペクトル法と格子点法とに分けられる
ができる。方程式(2)を例として考える二とじしよう。Uを次の
ようく

$$(3) \quad U = \sum_m \psi_m e^{imx}$$

と展開し、(2)式に入れて係数を整理すると

$$(4) \quad \dot{\psi}_m = -imU\psi_m$$

が得られる。 ψ_m の時間微分を更に差分でおきかえて解を求め

る方法がスペクトル法である。しかしここでは時間微分はそのまま(2)でおく。(4)の正確な解は

$$(5) \quad \psi_m = A_m e^{-im\omega t}$$

であるから(3)の u_m は(5)を代入すると(2)の正確解が得られる。

格子点法では x の正向に適当な間隔で格子点を作り、各格子点の値を使って空間微分を差分でおきかえる。例えば、中心差分方式を用いると(2)は

$$(6) \quad \frac{\partial u_j}{\partial t} = -U \frac{u_{j+1} - u_{j-1}}{2\Delta x} \quad \begin{array}{c} \bullet \quad \bullet \quad \bullet \\ j-1 \quad j-2 \quad j+1 \end{array} \rightarrow x$$

となる。 $\frac{\partial u_j}{\partial t}$ を更に差分でおきかえ解を求めるのが格子点法であるが、こゝでも又時間差分はそのままにしておく。

格子点を用いてこれを表現する場合、格子間隔に応じて分解能がきまるから或る波数よりも大きい波数の波はその表現に正しい寄与をしないはずである。しかしここではすべての波数の波が分解可能であると假定しよう。そのときは(3)式よ

9

$$(7) \quad u_j = \sum_m \psi_m e^{imf\omega x}$$

となる。 u_{j-1}, u_{j+1} についても同様でこれを(6)に代入する

8

$$(8) \quad \psi_m = -imU \frac{\sin m\omega K}{m\Delta x} \psi_m$$

を得る。この正確解は

$$(9) \quad \psi_m = A_m \exp\left(-im\frac{\sin \max}{\Delta x} t\right)$$

ψ_m を(3)に入れるならば(6)式の正確解が得られる。かくして(5)と(9)を比較するににより、(2)式とその空間微分を差分でおきかえた(6)式の解の差の誤差は存在しない。即ちその違いは $m\frac{U}{\Delta x}$ に係る。

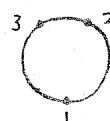
$$\frac{\sin \max}{\Delta x} = 1 + O[(\max)^3] \quad (|\max| < 1)$$

がかかる。これは $O[(\max)^3]$ である。これは space truncation error によるもので、 $|\max| < 1$ なるときには 3rd order は $(\max)^3$ となる。

スペクトル法では space truncation error は現われないが、実際の計算では級数を有限項で打ち切るか spectrum truncation error が生ずる。格子点法でも格子の分解能に応じて spectrum truncation があるはずで、それがどうよしに現われたのかを考えてみよう。

まず正向を 3ヶの格子点で分けた場合に(6)式より

$$(10) \quad \begin{cases} \dot{u}_1 = -a(u_2 - u_3) \\ \dot{u}_2 = -a(u_3 - u_1) \\ \dot{u}_3 = -a(u_1 - u_2) \end{cases} \quad \begin{aligned} a &= \frac{U}{2\Delta x} \\ \Delta x &= \frac{2\pi}{3} \end{aligned}$$



なる常数係数の連立常微分方程式が得られる。二の解 $\epsilon e^{\lambda t}$
と假定すると

$$(11) \quad \lambda(\lambda^2 + 3a^2) = 0$$

上式の解を用ひると U_j は次のようにな表示される。

$$(12) \quad U_j = b_0^{(j)} + b_1^{(j)} \exp(i\sqrt{3}at) + b_{-1}^{(j)} \exp(-i\sqrt{3}at)$$

(12) と (9) を比較すれば次のよろな対応関係のあら = とおもよ。

$$I = \exp(0) \Rightarrow \exp\left[t\left(imU \frac{\sin \max}{\max}\right)_{m=0, \Delta x = \frac{2\pi}{3}}\right]$$

$$(13) \quad \exp(i\sqrt{3}at) \Rightarrow \exp\left[t\left(imU \frac{\sin \max}{\max}\right)_{m=1, \Delta x = \frac{2\pi}{3}}\right]$$

$$\exp(-i\sqrt{3}at) \Rightarrow \exp\left[t\left(imU \frac{\sin \max}{\max}\right)_{m=-1, \Delta x = \frac{2\pi}{3}}\right]$$

以上より明らかなようにこの場合の解は (6) 式の正確解の中で
 $m \geq 2$ の波をすべて打ち切ったものに外ならぬ。

格子点を 4 点、5 点、6 点とした場合も同様で、これらの
場合の入の方程式はそれぞれ次のようになる。

$$\lambda^2(\lambda^2 + 4a^2) = 0, \quad \lambda(\lambda^4 + 5a^2\lambda^2 + 5a^4) = 0, \quad \lambda^2(\lambda^2 + 3a^2)^2 = 0$$

また (13) は対応 ($\lambda = \pm i\sqrt{3}$) の場合に (12)

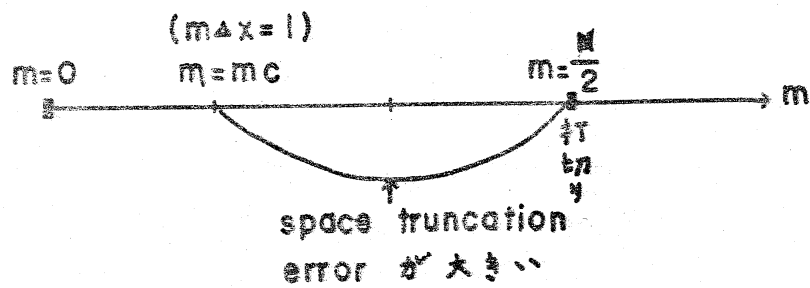
$$4 \text{ 点} \quad \begin{cases} I = \exp(0) \Rightarrow \exp\left[t\left(imU \frac{\sin \max}{\max}\right)_{m=0, \Delta x = \frac{2\pi}{4}}\right] \\ \exp(\pm i2at) \Rightarrow \exp\left[t\left(imU \frac{\sin \max}{\max}\right)_{m=\pm 1, \Delta x = \frac{2\pi}{4}}\right] \\ I = \exp(0) \Rightarrow \exp\left[t\left(imU \frac{\sin \max}{\max}\right)_{m=2, \Delta x = \frac{2\pi}{4}}\right] \end{cases}$$

$$\left\{ \begin{array}{l} | = \exp(0) \Rightarrow \exp\left[t\left(im + \frac{\sin \max}{m \Delta x}\right)\right]_{m=0, \Delta x = \frac{2\pi}{5}} \\ 5\text{点} \quad \exp(\pm i \frac{5+\sqrt{5}}{2} at) \Rightarrow \exp\left[t\left(\dots\right)\right]_{m=\pm 1, \Delta x = \frac{2\pi}{5}} \\ \exp(\pm i \frac{5-\sqrt{5}}{2} at) \Rightarrow \exp\left[t\left(\dots\right)\right]_{m=\pm 2, \Delta x = \frac{2\pi}{5}} \end{array} \right.$$

$$\left\{ \begin{array}{l} | = \exp(0) \Rightarrow \exp\left[t\left(\dots\right)\right]_{m=0, \Delta x = \frac{2\pi}{6}} \\ 6\text{点} \quad \exp(\pm i \sqrt{3} at) \Rightarrow \exp\left[t\left(\dots\right)\right]_{m=\pm 1, \Delta x = \frac{2\pi}{6}} \\ \exp(\pm i \sqrt{3} at) \Rightarrow \exp\left[t\left(\dots\right)\right]_{m=\pm 2, \Delta x = \frac{2\pi}{6}} \\ | = \exp(0) \Rightarrow \exp\left[t\left(\dots\right)\right]_{m=3, \Delta x = \frac{2\pi}{6}} \end{array} \right.$$

なる対応関係が得られた。4点、5点、6点の場合には $m \geq 3$ の波、6点の場合には $m \geq 4$ の波が打ち切られることが判明する。以上より推論すると一般に N (偶数) か、或いは $N+1$ の格子点の場合の解は (6) 式の正確解中で $m > \frac{N}{2}$ の波を打ち切る場合である。

また、 $m_c \Delta x = 1$ を満足するにしたて m_c は $m_c = \frac{1}{\Delta x} = \frac{N}{2\pi}$ であるから解を構成する波 ($m \leq \frac{N}{2}$) の最大値は $(\max) < 1$ であるが、残りの $\frac{N}{2}$ の波については $|\max| > 1$ で、space truncation error の非常に大きい波であることが判明する。



§ 3. Non-linear Instability

Phillips は大気大循環の数値実験を行った際、格子間隔 ΔX の大きさに關係なく方程式の非線型効果により計算不安定の起ることを発見した。

方程式(1)をもとに(2)の問題を考えてみよう。 (1)を変形すると、

$$(1)' \quad \frac{\partial u}{\partial t} = -\frac{1}{2} \frac{\partial u^2}{\partial x}$$

空間微分を中心差分で近似すると

$$(2) \quad \frac{\partial u_j}{\partial t} = -\frac{1}{2} \frac{u_{j+1}^2 - u_{j-1}^2}{2\Delta x} = -r(u_{j+1}^2 - u_{j-1}^2), \quad r = \frac{1}{4\Delta x}$$

となる。こゝでも時間微分はそのまま(2)でおく。Xの正向 $\in J_+$ に分割し、Uは次のようないづれの波で構成されているといふ。

$$(3) \quad U_j = C \cos \frac{\pi}{2} j + S \sin \frac{\pi}{2} j + U \cos \pi j + V$$

第一項、第二項は波数 $J/4$ 、第三項は波数 $J/2$ の波である。

(15) & (14) に入れた場合、 U_j を構成する波は非線形項の
たよりにより大きな波数、即ち $m = 3J/4$, $m = J$ の波を生ずる。
格子点の数は $J+1$ であるから $J/2$ の議論より明らかなように
、二点の発生した波は用いて $J/2$ 格子では分解不可能である。
このとき二点の波はあたかもその格子で分解可能な波
数の波であるかのようにみなされる。例えば、波数 m_1, m_2
の二つの波より波数 $m_1 + m_2$ の波ができ、その波数が $J/2$ を超
えているとしよう。そのときには次式

$$\left\{ \begin{array}{l} \cos \frac{2\pi}{J} j(m_1 + m_2) = \cos \frac{2\pi}{J} j(J - w) = \cos \frac{2\pi}{J} j w \\ \sin \frac{2\pi}{J} j(m_1 + m_2) = \sin \frac{2\pi}{J} j(J - w) = -\sin \frac{2\pi}{J} j w \\ (w < \frac{J}{2}) \end{array} \right.$$

より明らかに発生波は波数 w の波であるかのように扱
われきりである。このために生ずる error を aliasing error
といふ。したがって波数 $3J/4$, J の波はそれそれ波数 $J/4$,
 0 の波であるかのように扱われる。

(15) & (14) に入れ、以上のような事情を考慮して係数を整
理すると、

$$\dot{C} = 4rs(u - v)$$

$$(16) \quad \begin{cases} \dot{S} = 4rc(u+v) \\ \dot{u} = 0 \\ \dot{v} = 0 \end{cases}$$

この場合には $J/4, J/2$ 以外の新しい波数の波は発生しないことになるから、(16)の解はしが (15) で与えられたとき aliasing error を考慮した場合の (14) の解に外ならぬ。容易に予想ように C 或は S は e^{Kt} 及び e^{-Kt} の形の解をもつから $K^2 > 0$ ($K^2 = 16r^2(u+v)(u-v)$) ならば解は時間と共に増大する。これが Phillips のいう non-linear instability である。これは Δx をいかに小さくても防ぐことはできない。

ここで方程式 (1) 或は (1') の保存量を考えてみよう。 $\ell > -1$ なる ℓ に対して

$$(17) \quad \frac{\partial}{\partial t} \int_0^{2\pi} u^\ell dx = 0$$

が容易に証明される。 $\ell = 1, \ell = 2$ のとき (17) はそれぞれ物理的に運動量保存、運動エネルギー保存の関係を表わしている。

(14) がこれらの保存性を満足しているかどうか調べてみよう。しが格子点毎に与えられてる場合の運動量保存、及び運動エネルギー保存は次式で与えられる。

$$(18) \quad \sum_{j=1}^J \dot{u}_j = 0$$

$$(19) \quad \sum_{j=1}^J u_j \dot{u}_j = 0$$

(18), (19) の \dot{u}_j は (14) を入れると

$$\sum_{j=1}^J \dot{u}_j = -r \left(\sum_{j=1}^J u_{j+1}^2 - \sum_{j=1}^J u_{j-1}^2 \right) = -r \left(\sum_{j=1}^J u_j^2 - \sum_{j=1}^J u_j^2 \right) = 0$$

$$\sum_{j=1}^J u_j \dot{u}_j = -r \sum_{j=1}^J (u_j u_{j+1}^2 - u_j u_{j-1}^2) = -r \sum_{j=1}^J [-u_j^2 (u_{j+1} - u_{j-1})] \neq 0$$

即ち (14) 式は運動エネルギー保存の条件は満足していない。

(18), (19) を同時に満足する差分方式として例上げば次のようだ
と考えられる。

$$(20) \quad \frac{\partial u_j}{\partial t} = -\frac{1}{2} \frac{1}{\Delta x} \left[\left(\frac{2u_{j+1} + u_j}{3} \right)^2 - \left(\frac{u_j + 2u_{j-1}}{3} \right)^2 \right]$$

$$= -r' \left[u_{j+1}^2 - u_{j-1}^2 + u_j (u_{j+1} - u_{j-1}) \right], \quad r' = \frac{2}{9\Delta x}$$

u_j が前のよう (15) 式で表わされるとし、前と全く同様の扱い
方をする。

$$(21) \quad \begin{cases} \dot{c} = 2r's(u - zv) \\ \dot{s} = 4r'c(u + v) \\ \dot{u} = -2r'cs \\ \dot{v} = 0 \end{cases}$$

が得られる。上式より $\frac{\partial}{\partial t}(C^2 + S^2 + 3U^2 + V^2) = 0$ が判るから

この場合に非線形不稳定性は起らぬ。Eq 5 もこの方程式がもつ保存性のうち、一次及び二次の量の保存性を満足するように差分方式を作ったことによつて non-linear instability を防ぐことができたわけである。

同じ問題をスペクトル法で考えてみよう。任意の x の値に対する U を表わすように (15) を書き直すと、

$$(22) \quad U = C \cos mx + S \sin mx + U \cos zm x + V$$

こゝで $m = \frac{J}{4}$ である。スペクトル法では非線形効果により発生する波のうち、はじめに選んだ波数の波以外のものはすべて打ち消されるから (22) を (1)' に入れて係数を整理すると、

$$(23) \quad \begin{cases} \dot{C} = \frac{1}{2} mS(U - zV) \\ \dot{S} = \frac{1}{2} mC(U + zV) \\ \dot{U} = -mCS \\ \dot{V} = 0 \end{cases}$$

が得られる。この場合に非線形不稳定性は起らぬ。

$$\frac{\partial}{\partial t}(C^2 + S^2 + U^2 + V^2) = 0$$

ならばこれが判るから、スペクトル法では Phillips のいう non-linear instability は起らぬ。

方程式(1)'のスペクトル表現(23)がもとの方程式のもつ保存性をどの程度まで満たしているか調べてみよう。次の式は二の場合の保存量の時間変化のスペクトル表現とそれが保存性を満足しているかどうかを示していこう。

$$\frac{\partial}{\partial t} \int_0^{2\pi} u dx \Rightarrow \dot{v} = 0$$

$$\frac{\partial}{\partial t} \int_0^{2\pi} u^2 dx \Rightarrow \frac{\partial}{\partial t} (C^2 + S^2 + U^2 + 2V^2) = 0$$

$$\frac{\partial}{\partial t} \int_0^{2\pi} u^3 dx \Rightarrow \frac{\partial}{\partial t} \left[\left(\frac{1}{2} U(C^2 - S^2) + V(C^2 + S^2 + U^2 + \frac{2}{3} V^2) \right) \right] \neq 0$$

この場合には2次までの保存量の保存性は満足しているが、3次の保存量の保存性は満たしていない。

以上は波が3次ある場合であるが、波が4次の場合について同じ問題を考えてみよう。(22) 1=対応(2)

$$(25) \quad U = C \cos mx + S \sin mx + U \cos mz + V \sin mz$$

ここで常数項は問題の本質を変えることはなりうるので省略する。この場合の(1)'式のスペクトル表現は

$$(26) \quad \begin{cases} \dot{C} = -\frac{1}{2} m e v + \frac{1}{2} m s U \\ \dot{S} = \frac{1}{2} m c U + \frac{1}{2} m s V \\ \dot{U} = -m c S \end{cases}$$

$$\dot{V} = \frac{1}{2} m C^2 - \frac{1}{2} m S^2$$

となる。したがって(24)に対応して次式が得られる。

$$\frac{\partial}{\partial t} \int_0^{2\pi} U dx \Rightarrow \dot{U} = 0$$

$$\frac{\partial}{\partial t} \int_0^{2\pi} U^2 dx \Rightarrow \frac{\partial}{\partial t} (C^2 + S^2 + U^2 + V^2) = 0$$

$$\frac{\partial}{\partial t} \int_0^{2\pi} U^3 dx \Rightarrow \frac{\partial}{\partial t} \left[\frac{1}{2} U (C^2 - S^2) + CSV \right] = 0$$

$$\frac{\partial}{\partial t} \int_0^{2\pi} U^4 dx \Rightarrow \frac{\partial}{\partial t} \left[\frac{1}{2} (C^2 + S^2 + U^2 + V^2) + C(U+V) - S(U-V) + \frac{1}{2} (C^2 - S^2) + CS \right] \neq 0$$

即ち波数4以上になると3次までの保存量の保存性は満たされず4次の保存量の保存性は破れる。

以上より波数が多くなるほどより高次の保存量の保存性が満たされるようになる。スペクトル法で Phillips の "i; non-linear instability" が現われたのは、二方程ではもとの方程式のもう保存性をかなり程度まで自動的に満足しているためである。かくして Phillips の "i; non-linear instability" とは空間微分を差分で近似するとまゝ、もとの方程式のもう2次までの保存量の保存性を満足していないときに起るものとのことが出来る。

§4. 時間差分方式

今までに空間微分に関する問題と時間微分に関する問題の

混亂をさけたうの時間微分はそのまゝ(2)式が、実際計算では時間微分も差分に直さなければならぬ。これはスペクトル法でも格子点法でも同じである。

時間差分方式を分類すると、explicit 方式と implicit 方式に分けられる。各方式は更に、係数の次数及び時間格子点の数によつて分類される。気象力学の分野で使用及び提案された時間差分方式の主なモードをまとめておき次頁の表である。

多くの議論より明らかなるように、スペクトル法或いは格子点法では(2)式の解を数値的に求める際の時間差分の問題を調べるといふことは、次々形の方程式を数値積分する場合の問題に帰着できる。

$$(28) \quad \dot{\psi} = -i\alpha\psi$$

ここで $\alpha = m$ ならばスペクトル法、 $\alpha = m + \frac{\sin \omega x}{\max}$ ならば格子点法に対応する。

同じ差分方式でも適用する微分方程式によつて数値解の性質、計算安定の条件等は異ってくる。こゝでは上式(28)の時間微分を差分でおきかえた場合の問題を考えよう。

Heun 方式： (Euler 方式については 15 頁の表を参照)

この方式は $\dot{\psi}$ を消去すると $\psi_{t+1} = \psi_t + \Delta t \dot{\psi}_t + \frac{\Delta t^2}{2} \ddot{\psi}_t$ となる。

微分 偏微 分数 n 次數	時(向) 格子 n 次數	名 称	方 式	時間 差 order $(\Delta t)^n$	穩定性 條件	解 の 性 質
1	1 (forward)	$\psi_{\tau+1} = \psi_\tau + \dot{\psi}_\tau \Delta t$		2	不安定	$ \lambda = (1 + P^2)^{\frac{1}{2}}$
1	2 (centered)	$\psi_{\tau+1} = \psi_{\tau-1} + 2 \Delta t \dot{\psi}_\tau$		3	$ P < 1$	$\lambda_1 = e^{-i\theta}, \lambda_2 = (-1) e^{i\theta}$ Physical mode ω_{f1} is computational mode of diff. Eq. This mode is stable but ω_{f1} is unstable.
2	Adams - Bodforth	$\psi_{\tau+1} = \psi_\tau + \Delta t \left(\frac{3}{2} \dot{\psi}_\tau - \frac{1}{2} \dot{\psi}_{\tau-1} \right)$		3	不安定	Physical mode is unstable Eqs. ω_{f1} is computational mode of diff. Eq. is unstable $\omega_{f1} < 0$
2	Heun	$\psi_* = \psi_\tau + \Delta t \dot{\psi}_\tau$ $\psi_{\tau+1} = \psi_\tau + \frac{\Delta t}{2} (\dot{\psi}_\tau + \dot{\psi}_*)$		3	不安定	$ \lambda = (1 + \frac{P^4}{4})^{\frac{1}{2}}$
2	Matsumo (Euler - backward)	$\psi_* = \psi_\tau + \Delta t \dot{\psi}_\tau$ $\psi_{\tau+1} = \psi_\tau + \Delta t \dot{\psi}_*$		2	$ P < 1$	$ \lambda = (1 - P^2 + P^4)^{\frac{1}{2}}$ This mode is stable but ω_{f1} is unstable. (因) 波数の 大きさは波程減る率は大きい。
2	Leapfrog - trapezoidal	$\psi_* = \psi_{\tau-1} + 2 \Delta t \dot{\psi}_\tau$ $\psi_{\tau+1} = \psi_\tau + \frac{\Delta t}{2} (\dot{\psi}_\tau + \dot{\psi}_*)$		3	$ P < \sqrt{2}$	Physical mode is stable computational mode is diff. Eq. is stable.
4	Runge - Kutta	$k_1 = \dot{\psi}(\tau, \psi_\tau) \Delta t, k_2 = \dot{\psi}(\tau + \frac{\Delta t}{2}, \psi_\tau + \frac{k_1}{2}) \Delta t$ $k_3 = \dot{\psi}(\tau + \frac{\Delta t}{2}, \psi_\tau + \frac{k_2}{2}) \Delta t, k_4 = \dot{\psi}(\tau + \Delta t, \psi_\tau + \frac{k_3}{2}) \Delta t$ $\psi_{\tau+1} = \psi_\tau + \frac{1}{6} (k_1 + 2k_2 + 2k_3 + k_4)$		$ P < \sqrt{8}$	$ \lambda = (1 - \frac{1}{\sqrt{2}} P^6 + \frac{1}{576} P^8)^{\frac{1}{3}}$ This mode is stable but ω_{f1} is unstable.	
1	backward	$\psi_{\tau+1} = \psi_\tau + \Delta t \dot{\psi}_{\tau+1}$		2	安定	$ \lambda = \frac{1}{1 + P^2}$, This mode is stable but ω_{f1} is unstable
1	trapezoidal	$\psi_{\tau+1} = \psi_\tau + \frac{\Delta t}{2} (\dot{\psi}_{\tau+1} + \dot{\psi}_\tau)$		3	安定	$ \lambda = 1$. This mode is stable

λ is amplification matrix of numerical value, λ_1 is physical mode, λ_2 is computational mode. $P = \alpha \Delta t$

2次の微分係數まで便，た方式であるといふのはこの意味である。

持性方程式は $\lambda = 1 - \frac{P^2}{z} - iP$ であるから $|\lambda| = (1 + \frac{P^4}{4})^{\frac{1}{2}} > 1$ 。したがつてこの方式も計算不安定である。

Trapezoidal 方式：

持性方程式は $\lambda = \frac{1 - i\frac{P}{z}}{1 + i\frac{P}{z}}$ 。したがつて $|\lambda| = 1$ であるから $\lambda = |\lambda| e^{-i\theta}$ とおくと、この場合の数値解は

$$(29) \quad \psi_t = A |\lambda|^t e^{-i\theta t} = A e^{-i\theta t}$$

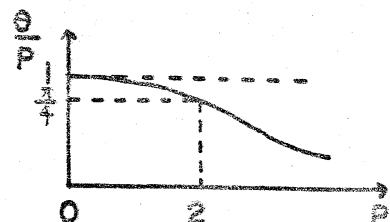
となる。

一方(28)の正確解は

$$(30) \quad \psi = \psi_0 e^{-i\alpha t} = \psi_0 e^{-iP t}, \quad (P = \alpha \Delta t)$$

であるから、振巾が一定であるといふ点で数値解と正確解は一致する。また θ は P に対応する量で、もし $\theta = P$ ならば数値解は正確解を表わすわけであるが、時間微分を差分で近似していける限り、この truncation error の影響は必ず θ に現われる。 θ/P が P によつてどうよつて変化するかをモデル的に示したのが下の図である。

かくしてこの方式は(28)の正確解に近いといふ点で非常にすぐれていい



* 1 図

3つ^め Implicit 方式であるが、答を得るには iteration を行わねばならぬ。これは長時間にわたる、て積分するときには、計算時間の面から不利である。Implicit 方式は常に安定である。

Leap-frog 方式

特性方程式は $\lambda^2 + izP\lambda - 1 = 0$ である。

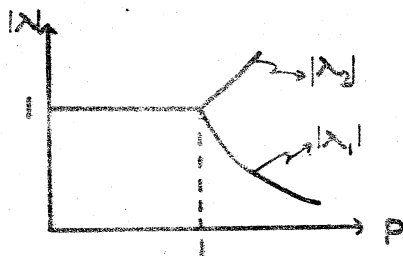
$|P| < 1$ の対応

$$\begin{cases} |\lambda_1| = 1 & \theta_1 = \sin^{-1} P \\ |\lambda_2| = 1 & \theta_2 = -(\pi + \theta_1) \end{cases}$$

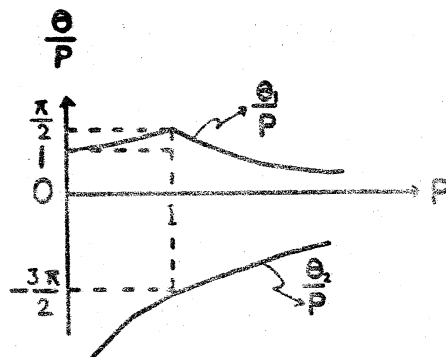
$|P| > 1$ の対応

$$\begin{cases} |\lambda_1| = P - \sqrt{P^2 - 1} & \theta_1 = \frac{\pi}{2} \\ |\lambda_2| = P + \sqrt{P^2 - 1} & \theta_2 = -\frac{3\pi}{2} \end{cases}$$

となる。 $|\lambda|$ 及び $\frac{\theta}{P}$ と P の関係をモデル的に示したのが次の図である。



*2 図 (a)



*2 図 (b)

計算が安定であるための条件は $|P| < 1$ である。

この場合は suffix 1 のついた解は正確解に近いものである。

ψ が直ちに判る。これを Physical mode といふ。一方 suffix $\tau \rightarrow \tau + \Delta t$ のた解は時間格子を二つ使う次の step の値を求める方式であるためにでてきたもので、これを Computational mode といふ。時間格子の数が増すにつれて computational mode の数も多くなることは特徴方程式の次数が大きくなることから明白である。

この方式による解の physical mode をみると、振巾は時間と共に変るが、から正確解に近いことが判る。computational mode があり、(かも = ω) physical mode と ω を大きな位相角を探してみるが、それは $\Rightarrow \omega$ mode の線型結合となる得られる数値解の振巾は必ずしも ω と一致する。computational mode の振巾を小さく押さえれば ω によつて ω の振巾は小さくなることが出来る。

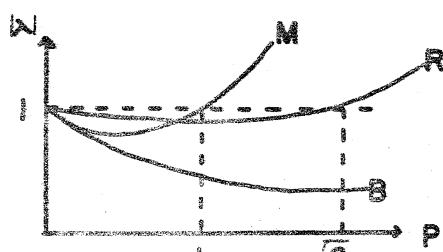
Matsuno 方式:

ψ を消去すれば $\dot{\psi}$ の方式は結局 $\dot{\psi}_{\tau+1} = \dot{\psi}_{\tau} + \Delta t \ddot{\psi}_{\tau} + \Delta t^2 \dddot{\psi}_{\tau}$ となりない。特徴方程式は $X = 1 - p^2 - i p$ 。したがつて $|N| = (1 - p^2 + p^4)^{\frac{1}{2}}$, $\theta = \tan^{-1} \frac{p}{1-p^2}$ 。計算安定の条件は $|P| < 1$ である。 $|N|$ 及び θ と P の関係は第3回で示されてゐる。

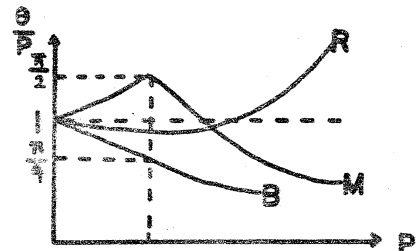
Runge-Kutta 方式:

$\dot{\psi}$ が $\tau \in \text{explicit}$ に含まれる場合、 f_{k_i} ($i=1, \dots, 4$) を消去すれば $\dot{\psi}_{\tau+1} = \dot{\psi}_{\tau} + \Delta t \dot{\psi}_{\tau} + \frac{1}{2!} \Delta t^2 \ddot{\psi}_{\tau} + \frac{1}{3!} \Delta t^3 \dddot{\psi}_{\tau} + \frac{1}{4!} \Delta t^4 \ddot{\ddot{\psi}}_{\tau}$ となる。

M: Matsuno R: Runge Kutta B: Backward



第3図 (a)



第3図 (b)

したがって explicit に含む場合につつても同様に二の方程式は4次の微分係数まで用ひた方式であることは容易にわかる。

特性方程式は $\lambda = (1 - \frac{1}{2}P + \frac{1}{24}P^4) + i(P - \frac{1}{6}P^3)$ 。

$$|\lambda| = \left(1 - \frac{1}{72}P^6 + \frac{1}{576}P^8\right)^{\frac{1}{2}}, \quad \theta = \tan^{-1} \frac{P - \frac{1}{6}P^3}{1 - \frac{1}{2}P^2 + \frac{1}{24}P^4}.$$

計算安定の条件は $|P| < \sqrt{8}$ 。 $|\lambda|$ 及び $\frac{\theta}{P}$ と P の関係は第3図 (a) をデリ的に示されてる。

Backward 方式：

特性方程式は $\lambda = \frac{1}{1+ip}$ 。 したが、 $|\lambda| = \frac{1}{1+p^2}$, $\theta = \tan^{-1} p$ 。

常に計算安定。 $|\lambda|$ 及び $\frac{\theta}{P}$ と P の関係は同じく第3図 (b) に示されている。

上述の3つの方式の特徴は解の振巾が時間と共に減少する事で、それが P に依存しているから、 Δt を適当にとれば、周波数(mU)の高い波程振巾の減衰が大きくなれることが分かる。かくして、それらの波を人工的に除去する事ができるわけである。しかし、充分長い時間積分を続けて

いくと、たりようとする低周波の波の振巾も次第に減衰する
といふ欠点がある。

Adams-Basforth 方式：

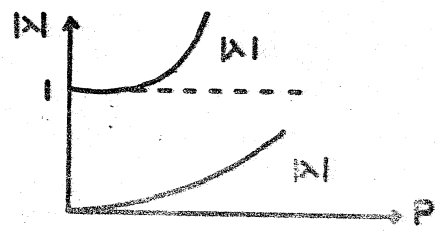
特性方程式は $\lambda^2 - (1 - i\frac{3}{2}p)\lambda - i\frac{1}{2}p = 0$ 。 $|\lambda| < p$ の関係が
#4 図に示されている。この方式は常に計算不安定を起す。

Leapfrog-trapezoidal 方式：

二の方式は Leapfrog 方式と trapezoidal 方式を組合せた

もので ψ_* を省去すると

$$\varphi_{t+1} = \varphi_t + \frac{\Delta t}{2}(\dot{\varphi}_t + \dot{\varphi}_{t-1}) + \frac{4\Delta t^2}{3}\ddot{\varphi}_t.$$



特性方程式は $\lambda^2 - (1 - p^2 - i\frac{1}{2}p)\lambda$

$+ i\frac{1}{2}p = 0$ 。 $|\lambda| < \sqrt{2}$ と p の関

係が #5 図 (a) に示されている。

計算安定の条件は $|p| < \sqrt{2}$ であ

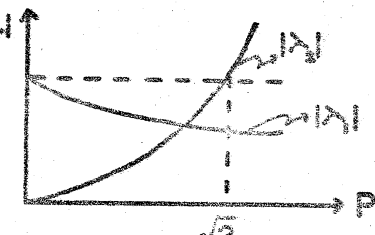
る。

以上述べた二つの方式の特

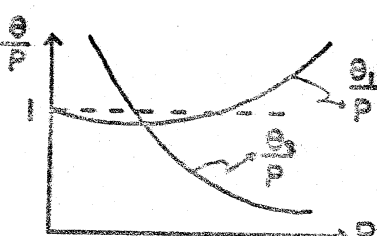
徴は computational mode の振

巾が時間と共に減衰するこ

とである。



#5 図 (a)



#5 図 (b)

§ 5. 時間差分に因連する non-linear instability

§ 4. で各種の差分方式について述べたが、比較的簡単でしかも正確解に近い数値解が得られるといつて Leaffrog 方式が広く用いられてる。しかしこの方式を用いた場合には、computational mode の振巾を小さく抑えが必要がある。

この方式は二つの時間格子を用ひ、計算をはじめるとまでは初期値の外に次の step の値を必要とする。その値は適当な方法で初期値から求めらるわけであるが、その求み方によると computational mode の振巾の大小が左右される。Leaffrog 方式の数値解は

$$(31) \quad \psi_t = A e^{-i\theta t} + B (-1)^t e^{i\theta t}, \quad \theta = \sin^{-1} p$$

であるから

$$(32) \quad \psi_t = \psi_0 [e^{-i\theta t} + F(p)]$$

とおくと

$$(33) \quad \begin{cases} A = \psi_0 \left(1 + \frac{F(p)}{2 \cos \theta} \right) \\ B = -\psi_0 \frac{F(p)}{2 \cos \theta} \end{cases}$$

となる。 $t=0$ の ψ_0 から $t=1$ の ψ_1 を求め方には、 $F(p)$ がまわる、もし $F(p)=0$ となるよう方法があるとすれば、 $B=0, A=\psi_0$ となり、数値解は正確解に一致す

3. 次表には出発値のきめ方と $|F|$ の大きさが示されている。

方式	出発値のきめ方	$ F $ の order	
A		$\frac{1}{8} P^4$	→ Euler 方式
B		$\frac{1}{18} P^2$	→ leap-frog 方式
C		$\frac{1}{8} P^3$	
D		$\frac{1}{3} P^3$	
E	正確な値	$\frac{1}{3} P^3$	

方式Aが非常によい方法であることが判る。Eで正確な値を与えることが必ずしもよい方法ではないといふことは注意すべきである。

さて今3次空間差分に関連して起る non-linear instability について述べたが、空間差分につれて non-linear instability が起らぬいどうな方式を用いると式(1)はスペクトル法を用いたとしても、方程式が非線型のときは時間差分方式として leapfrog 方式を用いると、似たような non-linear instability が発生する。次にその例を示す。

方程式系

$$\dot{c} = -bc - \frac{1}{3}cd$$

$$(34) \begin{cases} b = ac \\ c = -\frac{2}{5}ab + \frac{2}{3}ad \\ d = -\frac{1}{7}ac \end{cases}$$

についでは $\frac{\partial}{\partial t}(a^2 + \frac{3}{2}b^2 + \frac{5}{4}c^2 + \frac{7}{2}d^2) = 0$ が成立つかう。

Phillips の $n \geq 3$ non-linear instability は起つたはずである

・(34)を leapfrog 方式と Adams-Basforth 方式を用いて積分した結果が次の図に示されている。

二の図より明らかな

上うは leapfrog 方式で

は、計算不安定が起つ
ていい。しかし、Adams

- Basforth 方式、または
computational mode が

時間と共に減衰する方

式では、安定な結果が

得られる。

これより、leapfrog 方式を用うときには起つ

non-linear instability は computational mode を使うのが非

線型結果によ、七星常に大きくなつたうござる」と推論され

る。

残りはこの non-linear instability を「がく」 $\approx 1.2 \text{ 分} \approx 1$

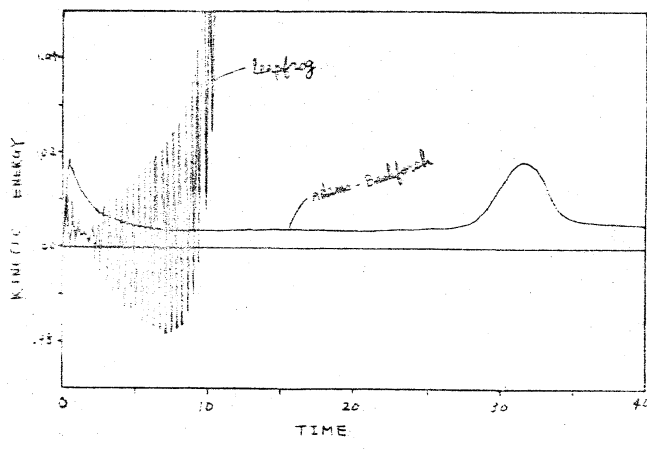


図 6 図

3 次の倍数で示す。 方程式系

$$(35) \quad \dot{\psi}_j = \sum_{k=1}^{30} \sum_{\ell=1}^{30} i a_{jkl} \psi_k \psi_\ell + i b_j \psi_j \quad (j=1, 2, \dots, 30)$$

は渦度方程式のスペクトル表現である。ここで ψ は複素数 $i = \sqrt{-1}$ である。係数 a_{jkl} , b_j の性質より

$$(36) \quad \frac{\partial}{\partial t} \left[\sum_{j=1}^{30} n_j (n_j + 1) |\psi_j|^2 \right] = 0 \quad (n_j \text{ は } j=1 \text{ までの整数})$$

なら運動エネルギー保存が成立つことが知られる。第 5 この場合に α は Phillips の non-linear instability は起らなければならぬ。しかし、時間微分が leapfrog 方式で近似して積分をすすめると、やがて図の曲線 A の上に $t = 164$ 日頃計算不安定を起してしまふ。これは上述の α と computational

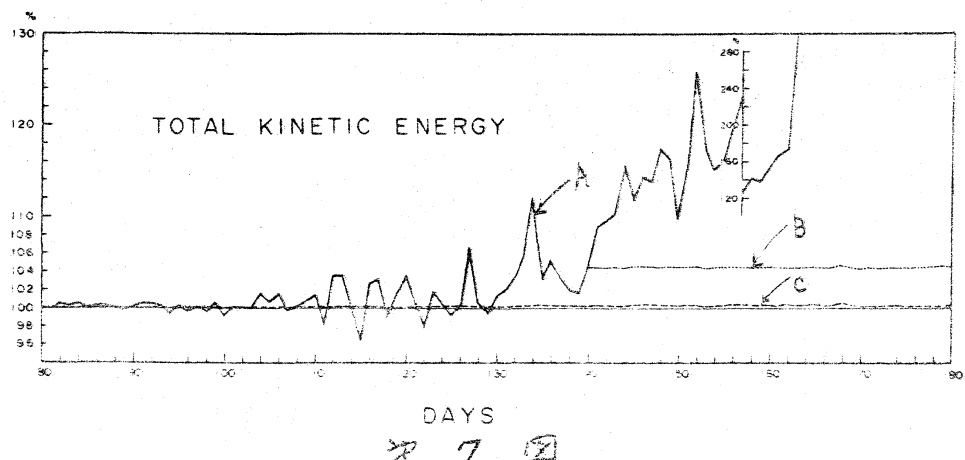


図 7 図

mode の振幅が大きくなりはじめるところ、これを抑える意味で 140 日目に α を去発射し 170 日目で再び去発射する。第 5 140

自回を初期値とし、方程式 A で次の step の値を求む。以後 leap-frog 方式で積分をすすめながら曲線 B である。図 3 が 12 non-linear instability の発生は抑えられていた。更に 20 日毎に再び発するといふ方法で積分をすすめながら曲線 C である。この場合には non-linear instability が起らなければかりでなく、誤差も非常に小さく抑えられることが判る。

§ 6. スペクトル切断誤差

線型微分方程式をスペクトル法で解く場合、スペクトル切断の影響は、切断した波が誤差として現われただけで、残りの波の影響は生じないが、方程式が非線型のときは残りの波もスペクトル切断の影響を受ける。こゝでは plateau 法について、方程式 (1) をもとにしてその問題を考えよう。

方程式 (1) の一般解は

$$(37) \quad u = F(x - ut)$$

F は任意の函数であるが、簡単のため $t = 0$ で $u = -\sin x$ とする解は

$$(38) \quad u = -\sin(x - ut)$$

となる。 $10^\circ x - t - \theta$ を代入すると (38) 式は

$$(39) \quad \begin{cases} u = -\sin \theta \\ \theta = x + t \sin \theta \end{cases}$$

と表現することもできる。(38) 或いは(39)より明らかなるように $t=0$ で $u=0$ の点では時間が経っても常に $u=0$ である。一方 $t=0$ で $u=u_m$ の点は u_m の値を保ちつつ u_m の速度で x 軸上を移動する。したがって $u=0$ の点とぶつかると、そこで u の速度は無限大となり、更に時間がたつと u はどの程度となる。即ち、shock

wave が発生するわけである。

図はその様子を示している。

$$\frac{du}{dt} = \frac{\partial u}{\partial t} + u \frac{\partial u}{\partial x} \text{ とおくと (1) 式より } \frac{ds}{dt} = -S^2.$$

$$(t=0) \text{ で } S = \frac{1}{t+s_0^{-1}}.$$

$S = \infty$ となる時を t_c とする

$$\text{すなはち } t_c = \frac{1}{S_0} = \frac{1}{\cos x} \text{ となる。}$$

かくして、 $t > t_c$ では u は

値をとる = ∞ が判る。

(38) を級数で表現すると、

$$(40) \quad u(x,t) = \sum_{n=1}^{\infty} u_n(t) \sin nx$$

$$(41) \quad u_n(t) = -\frac{1}{\pi} \int_{-\pi}^{\pi} u(x,t) \sin nx dx$$

となる。(39) を用いると(41)は

$$(42) \quad u_n(t) = \frac{2}{n\pi} \int_0^{\pi} \cos n(\theta - t \sin \theta) \cos s ds.$$

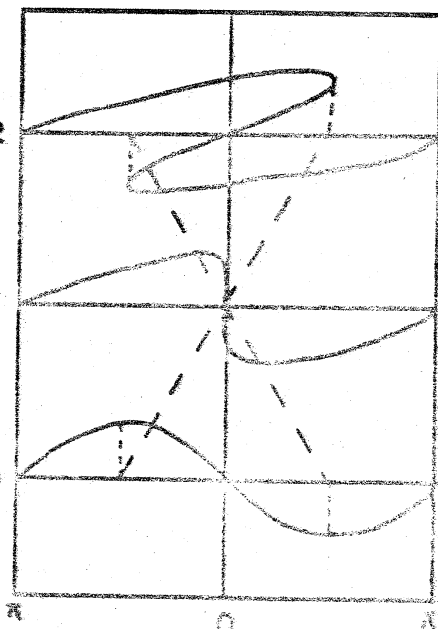


図 9

Bessel 関数の積分表示

$$(43) \quad J_n(z) = \frac{z}{n\pi} \int_0^\pi \cos(n\theta - z \sin\theta) \cos\theta d\theta$$

× (42) を比較すれば $z = t = 1$

$$(44) \quad U_n(t) = z J_n(nt)/nt$$

がく (2)

$$(45) \quad u = -2 \sum_{n=1}^{\infty} (nt)^l J_n(nt) \sin nx \quad (: \text{Koptegn 級数})$$

を得られる。(38) は $t > 1$ に対する多価関数である。この級数表現(45)は収斂し、かつ一価である。 $t = 0$ で $t \leq 1$ の時のみ、(45) は (1) の解である。

解(38) 式は $X = 0$ 及び $X = -\pi$ で常に $u = 0$ であるから。

$\ell > -1$ の ℓ は対して $\frac{2}{2t} \int_{-\pi}^0 u^\ell dx = 0$ が成立つ。したがって運動量保存及び運動エネルギー保存に対応するものとし

$$(46) \quad \begin{cases} M_1 = \frac{1}{2} \int_{-\pi}^0 u dx = 1 \\ M_2 = \frac{2}{\pi} \int_{-\pi}^0 u^2 dx = 1 \end{cases}$$

を得る。(46) 式を u は (45) を入れた場合の M_1, M_2 の値の t による変化を示したのが下図である。 $t > 1$ に対する (45) はもはや解ではないので (46) の関係を満足していない。

(40) 及 (1) に入れ係数を整理す

る。

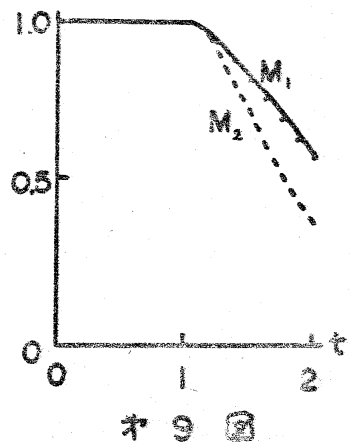
$$(47) \quad \frac{2}{n} \dot{u}_n = \frac{1}{2} \sum_{k=1}^{n-1} u_k u_{n-k} - \sum_{k=1}^{\infty} u_n u_{n+k}$$

左の (1) 式のスペクトル表現が得られる。一方 (40) 及 (46) 式の $u_1 =$
入れると

$$(48) \quad \begin{cases} M_1 = \sum_{n=1,3,5,\dots}^{\infty} n^{-1} u_n(t) = 1 \\ M_2 = \sum_{n=1,2,\dots}^{\infty} [u_n(t)]^2 = 1 \end{cases}$$

を得る。(47) より求められた u_n が $n + 1$ に計入ても (48)
を満足するとは容易に証明できる。勿論 $t > 1$ の対応
は (47) より得られる u_n はもはや解でないことは、それが既
の多価函数を表現し得ることが分明である。しかし、
常に (48) を満足するから $t > 1$ の計入 (44) とは違ひ u_n
であることが判る。これはかく $t \leq 1$ の計入 (44) により
 u_n の正確解が判つたから。その値と (47) を適当にスペクトル
切断したもののが求める u_n と比較して、スペクトル切断の
影響を調べることができる。

第 10 図には、 U_1, U_2, U_3 の正確な値を実線で、(47) 式より
これらの中 1 近似、中 2 近似をとつて計算したものと点で



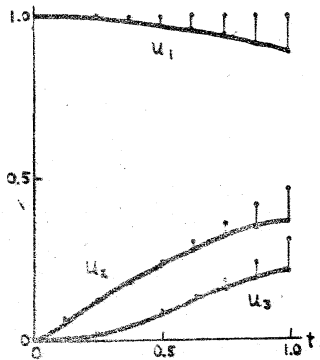


図 10

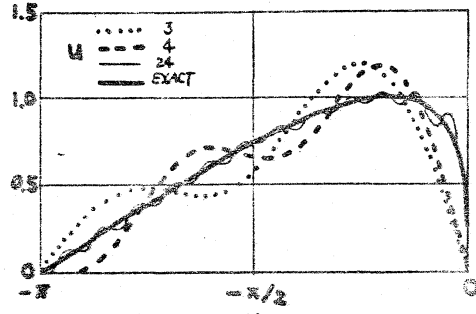


図 11

示している。こゝで u_1 の第 1 近似とは

$$z \dot{u}_1 = 0$$

である。

$$\begin{cases} z \dot{u}_1 = -u_1 u_2 \\ \dot{u}_2 = \frac{1}{z} u_1^2 \end{cases}$$

u_1 の第 2 近似であると共に u_2 の第 1 近似となる。以下同様である。第 10 図より明らかなように第 2 近似は正確とし、正解と一致していことを判る。

しかしこれはしが少い項数で十分に表現できるといつてはいけない。特に shock wave の発生する $x=1$ においては、かなり多くの項数までと、てもなお u_1 の表現に不充分となる。第 11 図より判るであろう。